

COMUNICACIÓN EN PÓSTER

ÓPTICA OFTÁLMICA / INSTRUMENTACIÓN EN OPTOMETRÍA CLÍNICA

ID: 1610

Comparación del ángulo *kappa* mediante topografía y videoculografía

➤ Autores: Javier Lozano Sanroma¹, Manuel Álvarez Prada¹, Silvia García Peláez³, Ana Pinar Rincón³, Laura Cerqueira Comesaña³, Déborah Bagur González³, Guía Prieto Fernández³

¹Instituto Oftalmológico Fernández-Vega. ²Universidad de Oviedo. ³Instituto Universitario Fernández-Vega.

OBJETIVO

Comparar la medida del ángulo kappa, obtenidos mediante un topógrafo corneal y un videoculógrafo. La justificación del trabajo se debe a la ausencia de publicaciones indexadas en la literatura científica que analicen ambos dispositivos.

MATERIAL Y MÉTODO

Se realizó un estudio prospectivo, transversal, observacional en el que se incluyeron 50 ojos de 25 pacientes (17 mujeres y 8 varones). La edad media fue de 32,42 ± 9,25, con un rango de 22 a 51 años.

A todos los pacientes se les realizó un examen optométrico y oftalmológico completo, incluyendo evaluación con lámpara de hendidura, topografía y refracción. Se consideró como criterio de exclusión, la presencia de patología corneal, asimetría o irregularidad pupilar, así como cualquier cirugía ocular.

Se examinaron a los pacientes con el topógrafo, *Sirius System*® (*Costruzione Strumenti Oftalmici*, Italia) y con el videoculógrafo *Gazelab*® (*bc-ninnova*, España). Se adquirieron las medidas del ángulo *kappa*, definido como el formado entre el eje pupilar y la línea de mirada, y representado mediante un vector, de módulo "r" (distancia

kappa) y un ángulo. Para su manejo matemático, el ángulo fue descompuesto vectorialmente en coordenadas X e Y. Para su análisis se obtuvieron las medias y se compararon, empleando el estadístico *t de Student* para muestras relacionadas y para análisis representativo, se realizaron gráficas de *Bland-Altman* (*Gráficas 1, 2 y 3*). Para analizar la fiabilidad, también se calculó el coeficiente de correlación intraclase. Los datos fueron analizados mediante el paquete estadístico SPSS® para Mac, 16.0 (SPSS® Inc, Chicago, IL.)

RESULTADOS

Se confirmó que la muestra seguía una distribución normal, mediante la prueba de Kolmogorov-Smirnov.

La distancia *kappa* media obtenida mediante *Sirius* fue de 0,2335 ± 0,1011 mm y 0,2122 ± 0,0880 mm con *Gazelab*, siendo la diferencia de las medias 0,0212 ± 0,0786 mm, con una significación $p > 0,05$, no estadísticamente significativa. El coeficiente de correlación intraclase fue de 0,793. La coordenada X media obtenida mediante *Sirius* fue de -0,0151 ± 0,2188 mm y -0,0146 ± 0,2013 mm con *Gazelab*, siendo la diferencia de las medias -0,00045 ± 0,10699 mm, con una significación $p > 0,05$, no estadísticamente significativa. El coeficiente de correlación intraclase fue de -0,225.



Sesión 1



Viernes, 13
de abril



10:00 h a 10:15 h



Terminal 7



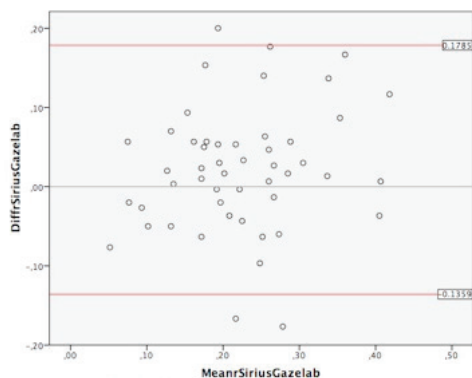
La coordenada Y media obtenida mediante Sirius fue de $0,0329 \pm 0,1212$ mm y $0,0399 \pm 0,09333$ mm con *Gazelab*, siendo la diferencia de las medias $-0,00704 \pm 0,09578$ mm, con una significación $p > 0,05$, no estadísticamente significativa. El coeficiente de correlación intraclass fue de 0,756.

CONCLUSIÓN

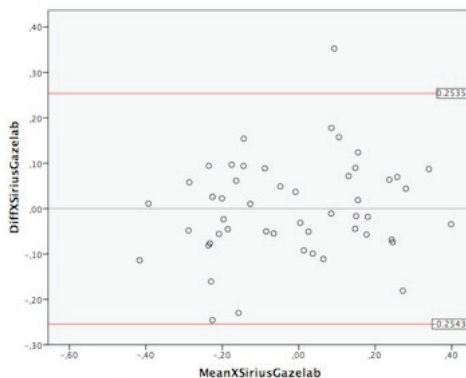
El estudio sugirió que la diferencia de la medida tanto de la distancia kappa como de las

coordenadas X e Y, entre ambos dispositivos, fue no estadísticamente significativa. Asimismo, el grado de concordancia fue alto, excepto para la coordenada X.

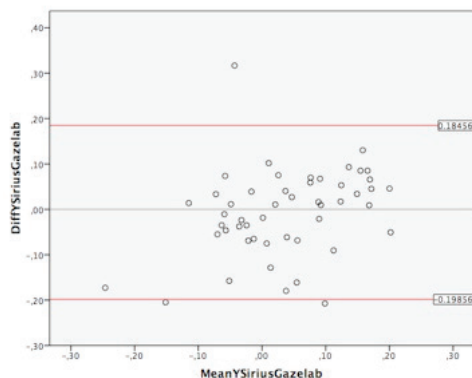
Factores como el control de la fijación, del proceso de medida, así como el diámetro pupilar o longitud axial, pueden influir en el resultado final, por lo que en estudios posteriores habría que controlarlos.



Gráfica 1, Bland-Altman r (distancia kappa)



Gráfica 2, Bland-Altman coordenada X



Gráfica 3, Bland-Altman coordenada Y

ORGANIZA:



AVALA:



COLABORA:



COLABORACIÓN ESPECIAL:

